



5.3 非线性调制（角度调制）原理

一个未经调制的正弦载波可表示为：

$$c(t) = A \cos \theta(t) = A \cos[\omega_c t + \varphi_0]$$

非线性调制：已调信号的频谱是原调制信号频谱的一种非线性变换，产生出与线性调制频谱搬移不同的新的频率分量。

↓
幅度调制
↓
线性调制

↓
角度调制
↓
非线性调制





5.3 非线性调制（角度调制）原理

一、角度调制的基本概念

角度调制信号的一般表达式为

$$s_m(t) = A \cos \theta(t) = A \cos[\omega_c t + \varphi(t)]$$

A 是载波的振幅， ω_c 为载波角频率， A 和 ω_c 均为常数；

$\omega_c t + \varphi(t) \rightarrow$ 信号的瞬时相位；

$\varphi(t) \rightarrow$ 瞬时相位偏移； $\varphi(t) = K_p m(t) \Rightarrow$ PM

$d[\omega_c t + \varphi(t)] / dt \rightarrow$ 信号的瞬时频率；

$d\varphi(t) / dt \rightarrow$ 瞬时频率偏移。 $\frac{d\varphi(t)}{dt} = K_f m(t) \Rightarrow$ FM₂





1. 相位调制(PM)的一般原理

$$s_m(t) = A \cos[\omega_c t + \varphi(t)]$$

相位调制：当幅度和角频率保持不变，而瞬时相位偏移是调制信号的线性函数。

瞬时相位偏移可表达为： $\varphi(t) = K_p m(t)$

式中： K_p 为常数，调相器的灵敏度，单位rad/V。

相应的调相(PM)信号为

$$s_{PM}(t) = A \cos[\omega_c t + K_p m(t)]$$



2. 频率调制(FM)的一般原理

$$s_m(t) = A \cos[\omega_c t + \varphi(t)]$$

频率调制：载波的瞬时频率偏移是调制信号的线性函数。

瞬时角频率偏移为 $\frac{d\varphi(t)}{dt} = K_f m(t)$

式中： K_f 为常数，**调频器灵敏度**，单位rad/（s·V）或 Hz/V。

瞬时相位偏移为 $\varphi(t) = K_f \int_{-\infty}^t m(\tau) d\tau$

调频信号 $s_{FM}(t) = A \cos[\omega_c t + K_f \int_{-\infty}^t m(\tau) d\tau]$



3. 频率调制和相位调制的区别和举例

设调制信号为单频正弦波信号

$$m(t) = A_m \cos \omega_m t$$

相位调制信号为：

$$s_{PM}(t) = A \cos[\omega_c t + K_p A_m \cos \omega_m t] = A \cos[\omega_c t + m_p \cos \omega_m t]$$

调相指数: $m_p = K_p A_m = \frac{\Delta \omega}{\omega_m} = \frac{\Delta f}{f_m} \longrightarrow$ 表示最大瞬时相位偏移

最大角频偏: $\Delta \omega = K_p A_m \omega_m$ (**最大频偏:** $\Delta f = \frac{\Delta \omega}{2\pi}$)





3. 频率调制和相位调制的区别和举例

设调制信号为单频正弦波信号

$$m(t) = A_m \cos \omega_m t$$

频率调制信号为：

$$s_{FM}(t) = A \cos[\omega_c t + K_f A_m \int_{-\infty}^t \cos \omega_m t dt] = A \cos[\omega_c t + m_f \sin \omega_m t]$$

调频指数: $m_f = \frac{K_f A_m}{\omega_m} = \frac{\Delta \omega}{\omega_m} = \frac{\Delta f}{f_m} \longrightarrow$ 表示最大瞬时相位偏移

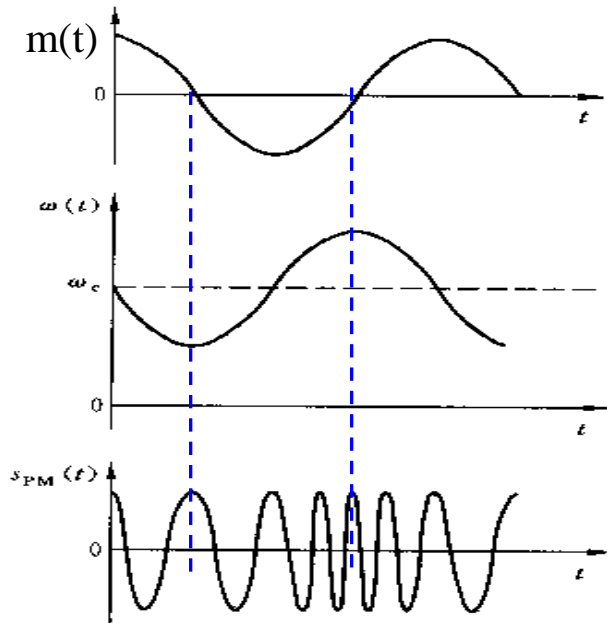
最大角频偏: $\Delta \omega = K_f A_m$ (**最大频偏:** $\Delta f = \frac{\Delta \omega}{2\pi}$)



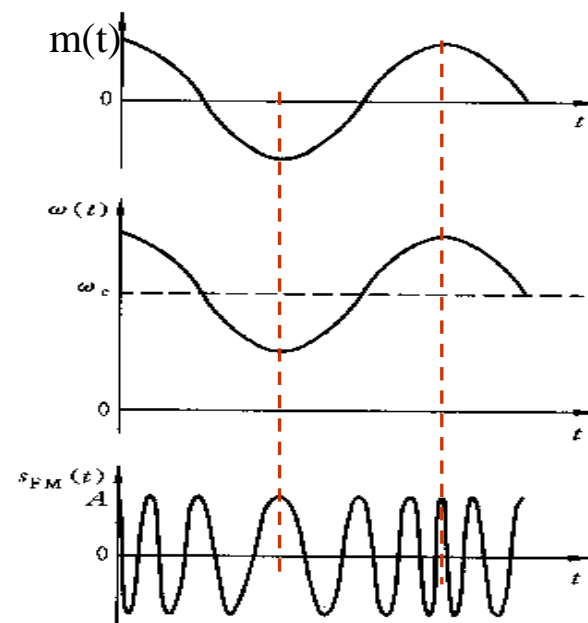


3. 频率调制和相位调制的区别和举例

单频信号PM



单频信号FM



单音正弦波调制时，PM和FM信号的波形难以区分。





4. 间接调频和间接调相

$$s_{PM}(t) = A \cos \left[\omega_c t + K_p m(t) \right]$$

$$s_{FM}(t) = A \cos \left[\omega_c t + K_f \int_{-\infty}^t m(\tau) d\tau \right]$$

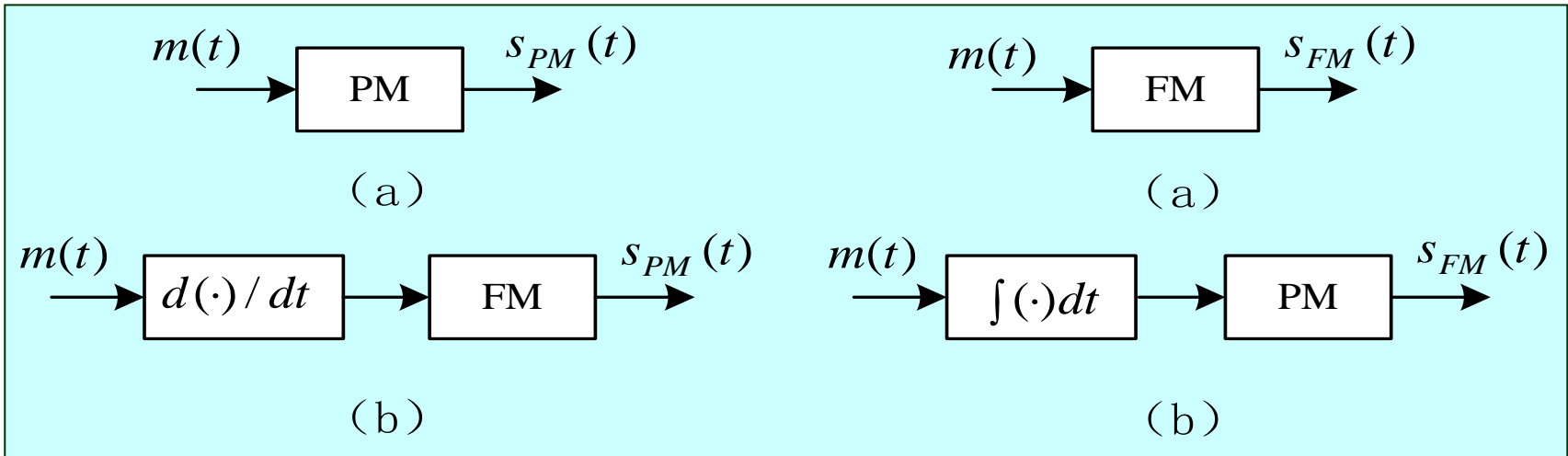


图1：直接和间接调相

图2：直接和间接调频



5. 小结

从以上分析可见，**调频与调相并无本质区别**，两者之间可相互转换。鉴于在实际应用中多采用FM波，本章将集中讨论频率调制。



二、窄带调频和宽带调频

$$s_{FM}(t) = A \cos \left[\omega_c t + K_f \int_{-\infty}^t m(\tau) d\tau \right]$$

根据调制后载波瞬时相位偏移的大小，可将频率调制分为：

宽带调频 (Wide-Band Frequency Modulation , **WBFM**)

窄带调频 (Narrow-Band Frequency Modulation, **NBFM**)

当
$$\left| K_f \left[\int_{-\infty}^t m(\tau) d\tau \right] \right|_{\max} \ll \frac{\pi}{6} \text{ (或 } 0.5 \text{)}$$

时，称为**窄带调频**。否则，称为**宽带调频**。





1. 窄带调频

$$s_{FM}(t) = \cos[\omega_c t + K_f \int_{-\infty}^t m(\tau) d\tau]$$

$$= \cos \omega_c t \cos[K_f \int_{-\infty}^t m(\tau) d\tau] - \sin \omega_c t \sin[K_f \int_{-\infty}^t m(\tau) d\tau]$$

当 $\left| K_f \left[\int_{-\infty}^t m(\tau) d\tau \right] \right|_{\max} \ll \frac{\pi}{6}$ (或0.5) 时,

当 $x \ll 1$ 时
 $\cos x \approx 1$
 $\sin x \approx x$

有:
$$\begin{cases} \cos \left[K_f \int_{-\infty}^t m(\tau) d\tau \right] \approx 1 \\ \sin \left[K_f \int_{-\infty}^t m(\tau) d\tau \right] \approx K_f \int_{-\infty}^t m(\tau) d\tau \end{cases}$$

所以
$$s_{NBFM}(t) \approx \cos \omega_c t - [K_f \int_{-\infty}^t m(\tau) d\tau] \sin \omega_c t$$





1. 窄带调频

$$S_{NBFM}(t) \approx \cos \omega_c t - [K_f \int_{-\infty}^t m(\tau) d\tau] \sin \omega_c t$$

若 $m(t) \Leftrightarrow M(\omega)$

则 $\int_{-\infty}^t m(t) dt \Leftrightarrow \frac{M(\omega)}{j\omega} + \pi M(0) \delta(\omega)$

设 $\overline{m(t)} = 0$, 即 $M(0) = 0$

又有 $\sin \omega_c t \Leftrightarrow j\pi [\delta(\omega + \omega_c) - \delta(\omega - \omega_c)]$

所以 $\int_{-\infty}^t m(\tau) d\tau \sin \omega_c t \Leftrightarrow \frac{1}{2} \left[\frac{M(\omega + \omega_c)}{\omega + \omega_c} - \frac{M(\omega - \omega_c)}{\omega - \omega_c} \right]$

得:

$$S_{NBFM}(\omega) = \pi [\delta(\omega + \omega_c) + \delta(\omega - \omega_c)] + \frac{K_f}{2} \left[\frac{M(\omega - \omega_c)}{\omega - \omega_c} - \frac{M(\omega + \omega_c)}{\omega + \omega_c} \right]$$



窄带调频信号的频域表达式:

$$S_{NBFM}(\omega) = \pi[\delta(\omega - \omega_c) + \delta(\omega + \omega_c)] \\ + \frac{K_F}{2} \left[\frac{M(\omega - \omega_c)}{(\omega - \omega_c)} - \frac{M(\omega + \omega_c)}{(\omega + \omega_c)} \right]$$

与AM信号的频谱做一比较:

$$s_{AM}(t) = [A_0 + m(t)]\cos \omega_c t$$

$$S_{AM}(\omega) = \pi A_0[\delta(\omega + \omega_c) + \delta(\omega - \omega_c)] \\ + \frac{1}{2}[M(\omega + \omega_c) + M(\omega - \omega_c)]$$





1. 窄带调频

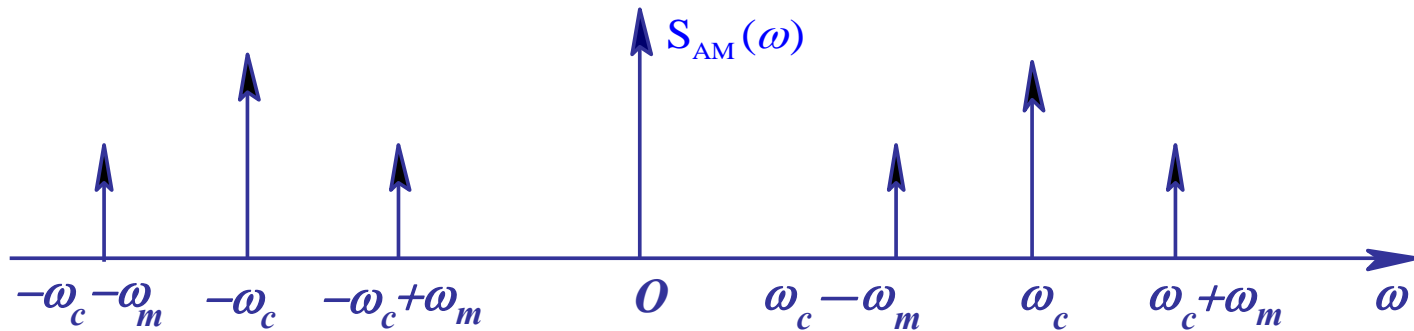
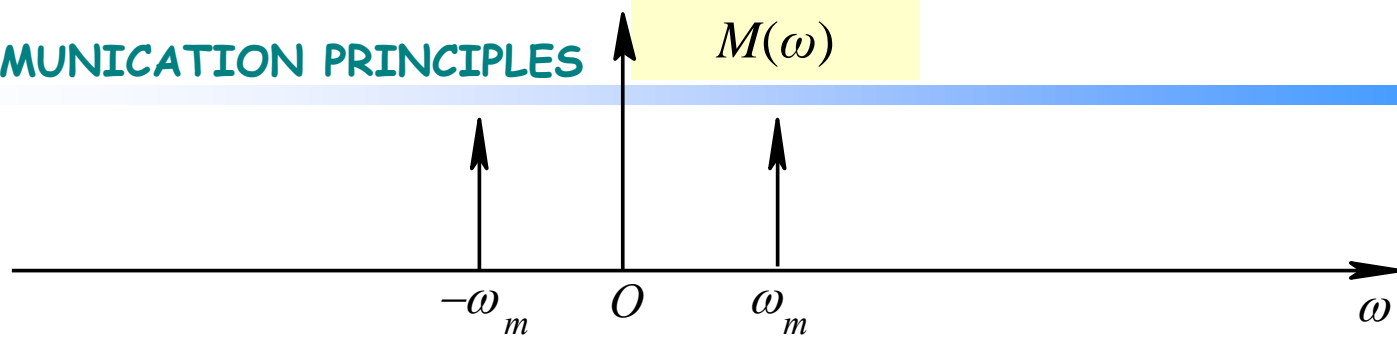
例：单音调制信号为 $m(t)=A_m\cos\omega_m t$ ，试分析窄带调频后的频谱，并与AM信号频谱相比较

解：

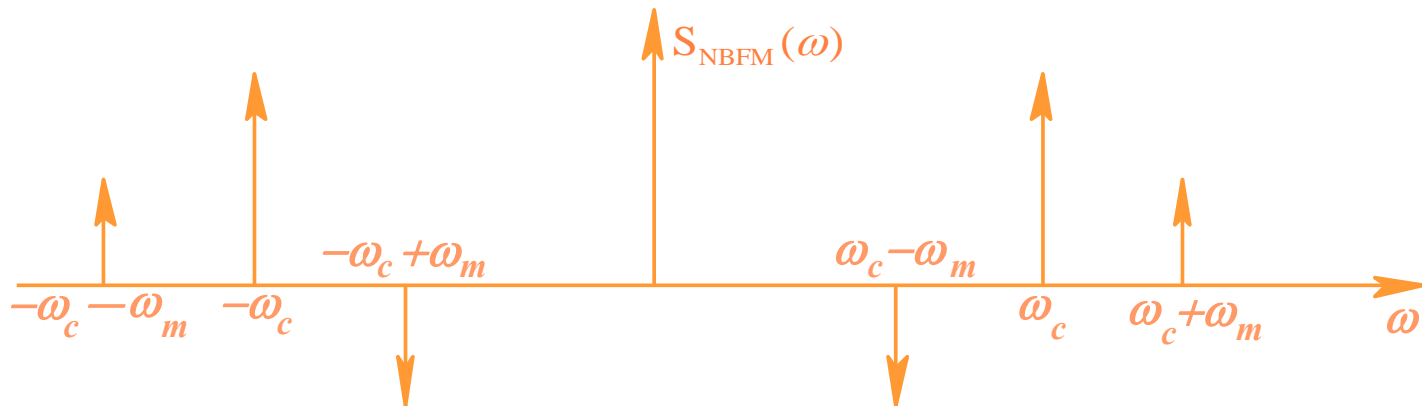
$$\begin{aligned} s_{NBFM}(t) &\approx \cos \omega_c t - \left[K_f \int_{-\infty}^t m(\tau) d\tau \right] \sin \omega_c t \\ &= \cos \omega_c t - A_m K_f \frac{1}{\omega_m} \sin \omega_m t \sin \omega_c t \\ &= \cos \omega_c t + \frac{A_m K_f}{2\omega_m} \left[\cos(\omega_c + \omega_m)t - \cos(\omega_c - \omega_m)t \right] \end{aligned}$$

$$\begin{aligned} s_{AM}(t) &= (A_0 + A_m \cos \omega_m t) \cos \omega_c t = A_0 \cos \omega_c t + A_m \cos \omega_m t \cos \omega_c t \\ &= A_0 \cos \omega_c t + \frac{A_m}{2} \left[\cos(\omega_c + \omega_m)t + \cos(\omega_c - \omega_m)t \right] \end{aligned}$$





$$s_{AM}(t) = A_0 \cos \omega_c t + \frac{A_m}{2} [\cos(\omega_c + \omega_m)t + \cos(\omega_c - \omega_m)t]$$



$$s_{NBFM}(t) \approx \cos \omega_c t + \frac{A_m K_F}{2\omega_m} [\cos(\omega_c + \omega_m)t - \cos(\omega_c - \omega_m)t]$$





1. 窄带调频

$$\left\{ \begin{aligned} S_{NBFM}(\omega) &= \pi [\delta(\omega + \omega_c) + \delta(\omega - \omega_c)] + \frac{K_f}{2} \left[\frac{M(\omega - \omega_c)}{\omega - \omega_c} - \frac{M(\omega + \omega_c)}{\omega + \omega_c} \right] \\ S_{AM}(\omega) &= \pi A_0 [\delta(\omega + \omega_c) + \delta(\omega - \omega_c)] + \frac{1}{2} [M(\omega + \omega_c) + M(\omega - \omega_c)] \end{aligned} \right.$$

相同点:

- ① NBFM和AM都有载波分量和以 $\pm \omega_c$ 为中心的边带分量
- ② NBFM信号和AM信号有相同的带宽, 均为 $2f_H$

不同点:

- ③ NBFM的两个边频分别乘了因式 $[1/(\omega - \omega_c)]$ 和 $[1/(\omega + \omega_c)]$, 由于因式是频率的函数, 所以这种加权是频率加权, 加权的结果引起调制信号频谱的失真
- ④ NBFM信号的下边带分量还有 180° 的相位反转。





2. 宽带调频信号频谱

- 不满足窄带条件的为宽带调频;
- 调制信号对载波进行频率调制将产生较大频偏;
- 已调信号在传输时要占用较宽频带。

(1) 单频调制时宽带调频信号

设单频调制信号为:

$$m(t) = A_m \cos \omega_m t$$

则单音调频信号的时域表达式为:

$$\begin{aligned} s_{FM}(t) &= A \cos[\omega_c t + K_f \int_{-\infty}^t m(\tau) d\tau] \\ &= A \cos[\omega_c t + m_f \sin \omega_m t] \end{aligned}$$





(1) 单频调制时宽带调频信号

$$s_{FM}(t) = A \cos \left[\omega_c t + m_f \sin \omega_m t \right]$$

展开得

$$s_{FM}(t) = A \cos \omega_c t \cdot \cos(m_f \sin \omega_m t) - \sin \omega_c t \cdot \sin(m_f \sin \omega_m t)$$

式中, $\cos(m_f \sin \omega_m t)$ 和 $\sin(m_f \sin \omega_m t)$ 为超越函数, 都是周期性函数, 可以把它们展成傅氏级数

$$\cos(m_f \sin \omega_m t) = J_0(m_f) + \sum_{n=1}^{\infty} 2J_{2n}(m_f) \cos 2n\omega_m t$$

$$\sin(m_f \sin \omega_m t) = 2 \sum_{n=1}^{\infty} J_{2n-1}(m_f) \sin(2n-1)\omega_m t$$

$J_n(m_f)$ — 第一类n阶贝塞尔(Bessel)函数。





第一类n阶贝塞尔函数

$$J_n(m_f) = \sum_{m=0}^{\infty} \frac{(-1)^m (m_f / 2)^{2m+n}}{m!(m+n)!}$$

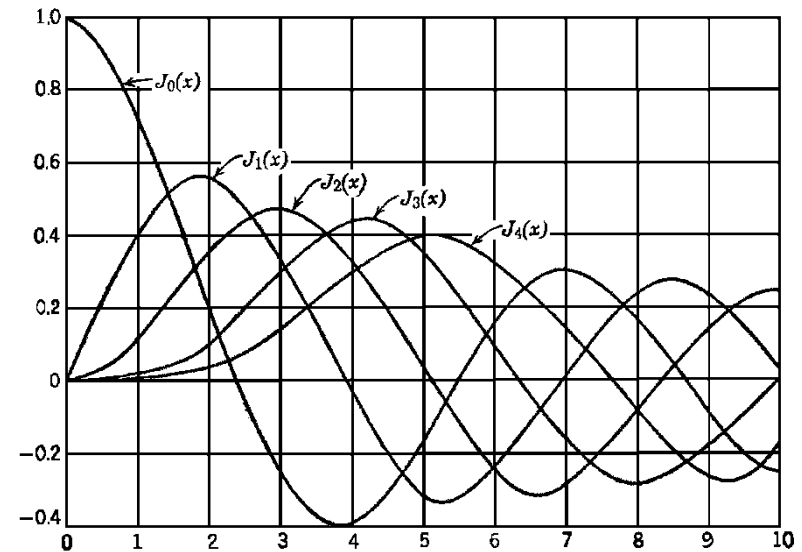
其性质有:

(1) $J_{-n}(m_f) = (-1)^n J_n(m_f)$

(2) $\sum_{n=-\infty}^{\infty} J_n^2(m_f) = 1$

(3) 当 m_f 很小时有:

$$J_0(m_f) \approx 1, \quad J_1(m_f) \approx \frac{m_f}{2}, \quad J_n(m_f) \approx 0 \quad (n > 1)$$



$J_n(m_f)$ - m_f 关系曲线



整理得：

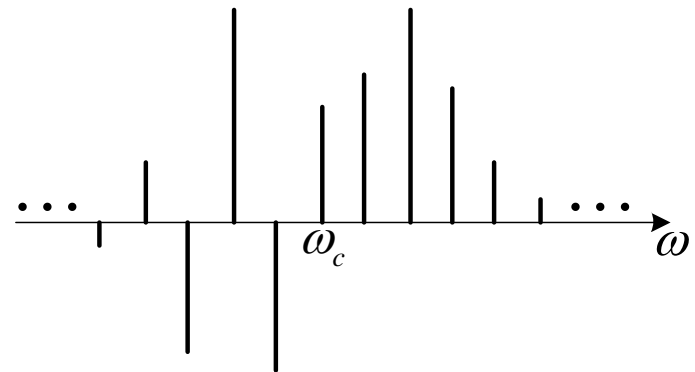
$$s_{FM}(t) = A \sum_{n=-\infty}^{n=\infty} J_n(m_f) \cos(\omega_c + n\omega_m)t$$

所以：

$$S_{FM}(\omega) = A\pi \sum_{n=-\infty}^{\infty} J_n(m_f) [\delta(\omega - \omega_c - n\omega_m) + \delta(\omega + \omega_c + n\omega_m)]$$

调频信号频谱具有非线性特点：

- 有载频，当 $n=0$ 时，就是载波分量，幅度为 $AJ_0(m_f)$ ；
- 有上下边频 $\omega_c \pm n\omega_m$ ，边频幅度为 $AJ_n(m_f)$ ， n 为奇数时，上下边频极性相反。

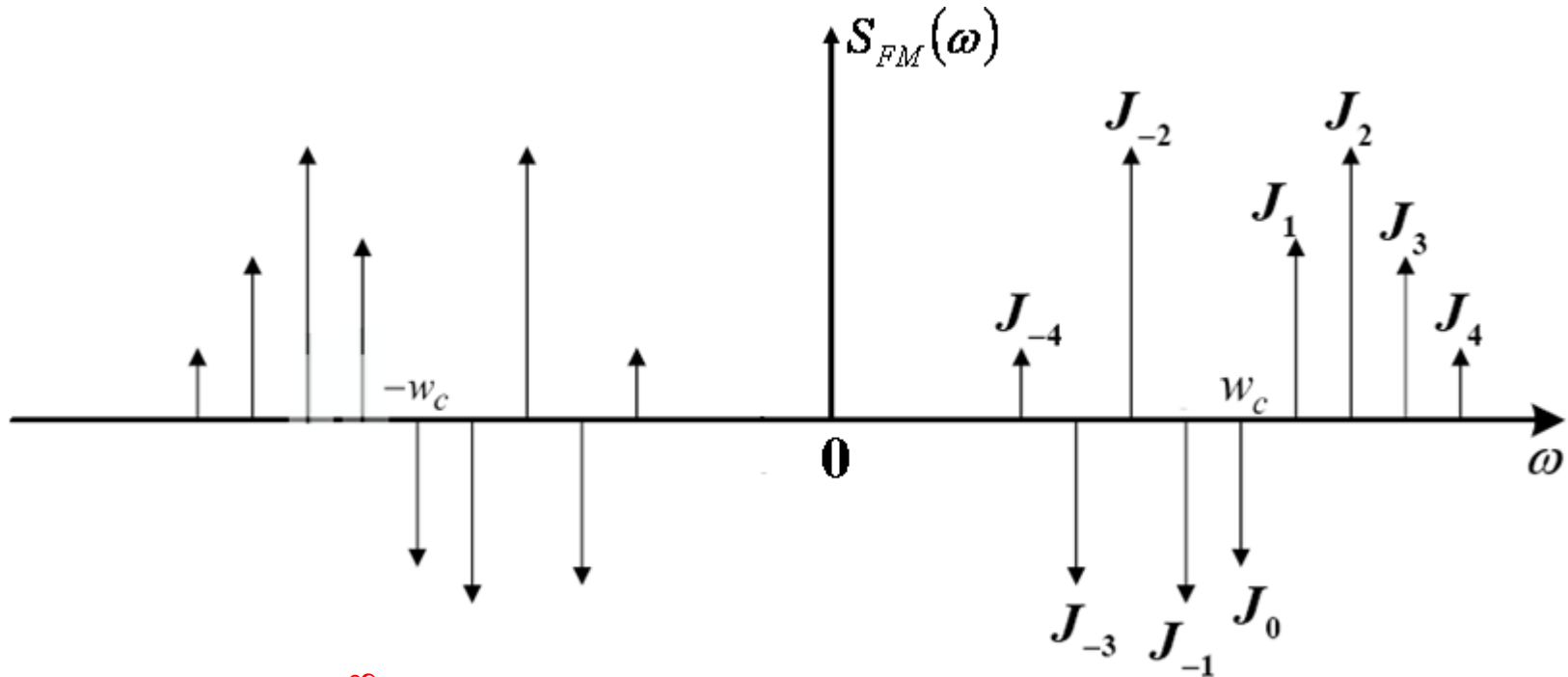




例：调频指数为 $m_f = 3$

$$J_0(3) = -0.260, J_1(3) = 0.3339,$$

$$J_2(3) = 0.486, J_3(3) = 0.309, J_4(3) = 0.132$$



$$S_{FM}(\omega) = \pi A \sum_{n=-\infty}^{\infty} J_n(m_f) [\delta(\omega - \omega_c - n\omega_m) + \delta(\omega + \omega_c + n\omega_m)]$$





调频信号的带宽

- 理论上，调频信号的频带宽度为无限宽。
- 实际上，边频幅度随着 n 的增大而逐渐减小，因此调频信号可近似认为具有有限频谱。
 - ✎ 通常采用的原则是，信号的频带宽度应包括幅度大于未调载波的10%以上的边频分量。
 - ✎ 当 $m_f \geq 1$ 以后，取边频数 $n = m_f + 1$ 即可。因为 $n > m_f + 1$ 以上的边频幅度均小于 $0.1A_c$ 。
- 被保留的上、下边频数共有 $2n = 2(m_f + 1)$ 个，相邻边频之间的频率间隔为 f_m ，所以调频波的有效带宽为

$$B_{\text{FM}} = 2(1 + m_f) f_m$$





卡森 (Carson) 公式

$$B_{FM} = 2(m_f + 1)f_m = 2(\Delta f + f_m)$$

卡森公式说明调频信号的带宽取决于最大频偏和调制信号的频率。

若 $m_f \ll 1$ 时, $B_{FM} \approx 2f_m$

这就是窄带调频的带宽, 由调制信号的频率决定。

若 $m_f \geq 10$ 时, $B_{FM} \approx 2\Delta f$

这是宽带调频情况, 说明带宽由最大频偏决定。





FM信号的功率分配

设 P_c , P_f , P_{FM} 分别代表载波功率、边频功率和总功率, 则有:

$$P_c = \frac{A^2}{2} J_0^2(m_f)$$

$$P_f = 2 \times \frac{A^2}{2} \sum_{n=1}^{\infty} J_n^2(m_f)$$

$$P_{FM} = P_c + P_f = \frac{A^2}{2} \sum_{n=-\infty}^{\infty} J_n^2(m_f) = \frac{A^2}{2}$$

$$\begin{aligned} S_{\text{WBFM}} &= A \cos[\omega_c t + m_f \sin \omega_m t] \\ &= A \sum_{n=-\infty}^{\infty} J_n(m_f) \cos(\omega_c + n\omega_m)t \end{aligned}$$

结论:

- 对于**FM**信号, 已调信号和未调载波信号的功率均为 $A^2 / 2$ 。
- 调制信号虽不提供功率, 但却控制着功率的分布。即将原来载波功率中的一部分分配给每个边频分量。





2. 宽带调频

(2) 任意带限信号调制时宽带调频信号的带宽

任意限带信号调制时的调频信号带宽的估算公式

$$B_{FM} = 2(D + 1)f_H$$

f_H 是调制信号的最高频率,

D (频偏比)是最大频偏 Δf 与 f_H 的比值: $D = \Delta f / f_H$

最大频偏 Δf : $\Delta f = K_F |m(t)|_{\max}$





【例】 基带信号为 $m(t) = \cos 20\pi t$ ，载波为 $10 \cos 2\pi f_c t$
假如用基带信号对载波进行频率调制， $K_F = 100\pi \text{ rad}/(\text{s} \cdot \text{V})$
求调频信号的表示式，并确定含**98%**已调信号功率的
谐波频率及其有效带宽？

解：（1）调频信号表示式：

$$s(t)_{FM} = 10 \cos \left[2\pi f_c t + m_f \sin(20\pi t) \right]$$

调频指数 $m_f = K_F \frac{A_m}{\omega_m} = 100\pi \cdot \frac{1}{20\pi} = 5$

$$\therefore s(t)_{FM} = 10 \cos \left[2\pi f_c t + 5 \sin(20\pi t) \right] \quad \text{表达式一}$$

$$= \sum_{n=-\infty}^{+\infty} 10 J_n(m_f) \cos \left[(\omega_c + n\omega_m) t \right]$$

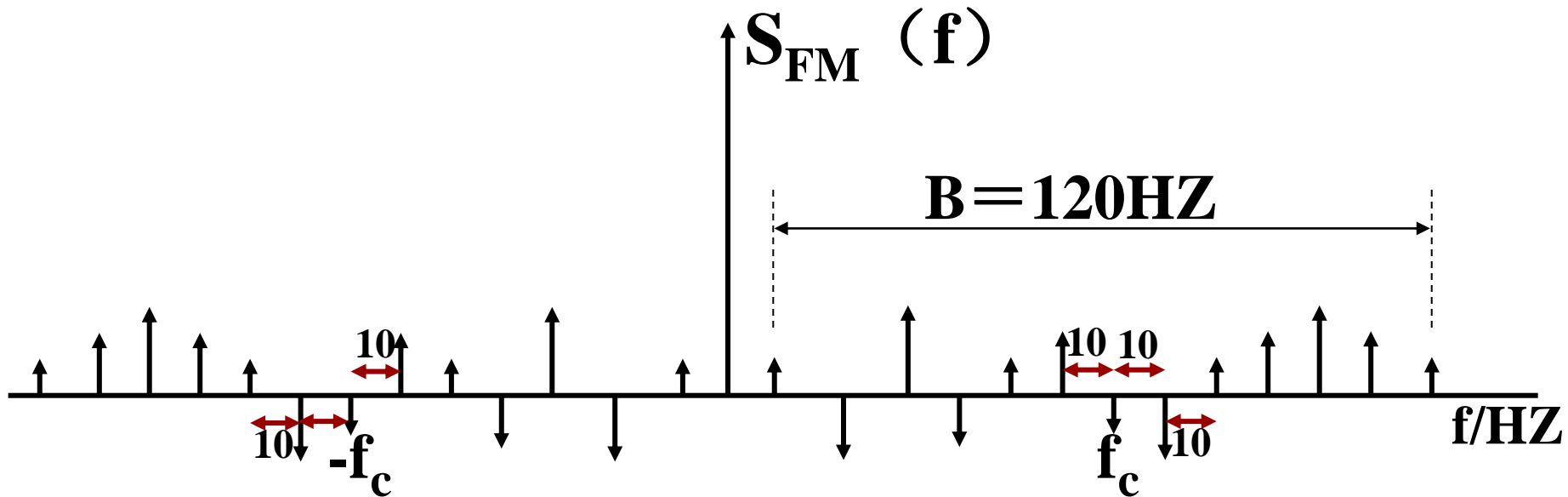
$$= \sum_{n=-\infty}^{+\infty} 10 J_n(5) \cos \left[(\omega_c + n \cdot 20\pi) t \right] \quad \text{表达式二}$$





$$(2) \ m_f=5 \Rightarrow B_{FM} = 2(m_f + 1)f_m = 2(5 + 1) \cdot 10 = 120\text{HZ}$$

$$S_{FM}(\omega) = 10\pi \sum_{n=-\infty}^{\infty} J_n(5) [\delta(\omega - \omega_c - n\omega_m) + \delta(\omega + \omega_c + n\omega_m)]$$





三、（宽带）调频信号的产生和解调

1. 调频信号的产生

(1) 直接调频法

用调制信号直接改变载频振荡器频率的方法，一般采用压控振荡器（VCO）作为产生调频信号的调制器。



优点:可以获得较大的频偏。

缺点:载频稳定度不高。

压控振荡器输出高频振荡的频率正比于输入控制电压，即：

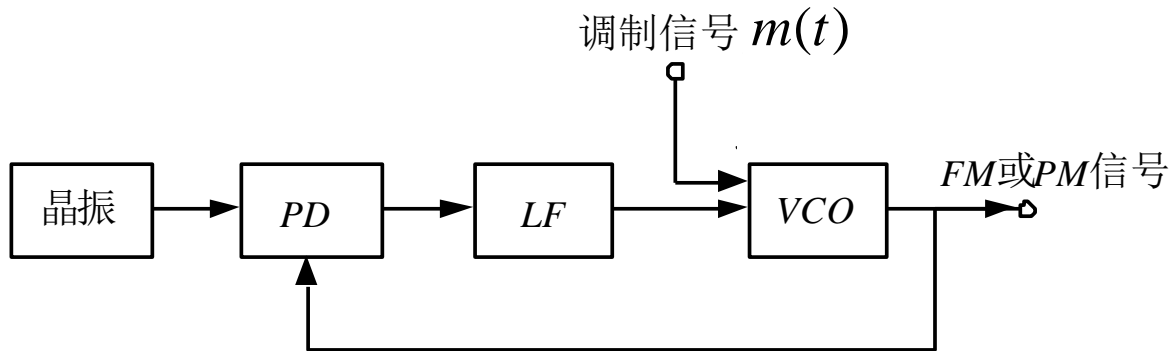
$$\omega_i(t) = \omega_0 + K_f m(t)$$



1. 调频信号的产生

(1) 直接调频法

直接调频法改进：锁相环（PLL）调制器



优点:载频稳定度高，可达晶振的稳定度。

缺点:低频调制特性较差。

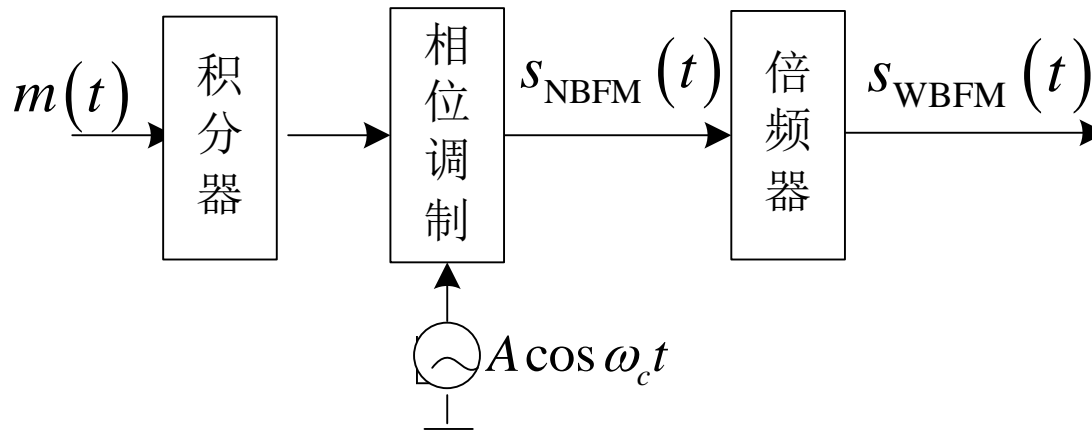




1.调频信号的产生

(2) 间接调频法

- 先将调制信号积分，然后对载波进行调相，即可产生一个窄带调频(NBFM)信号，再经 n 次倍频器得到宽带调频 (WBFM) 信号。

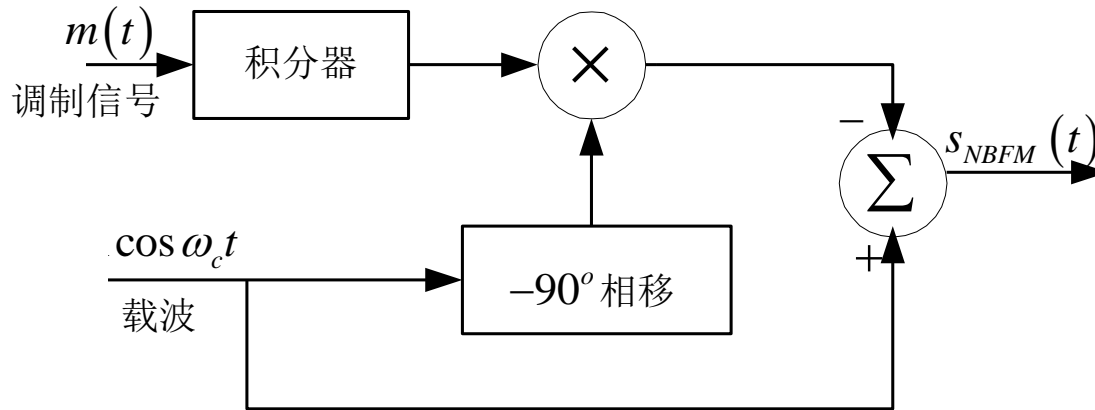




1.调频信号的产生

(2) 间接调频法

$$s_{NBFM}(t) \approx \cos \omega_c t - [K_f \int_{-\infty}^t m(\tau) d\tau] \sin \omega_c t$$



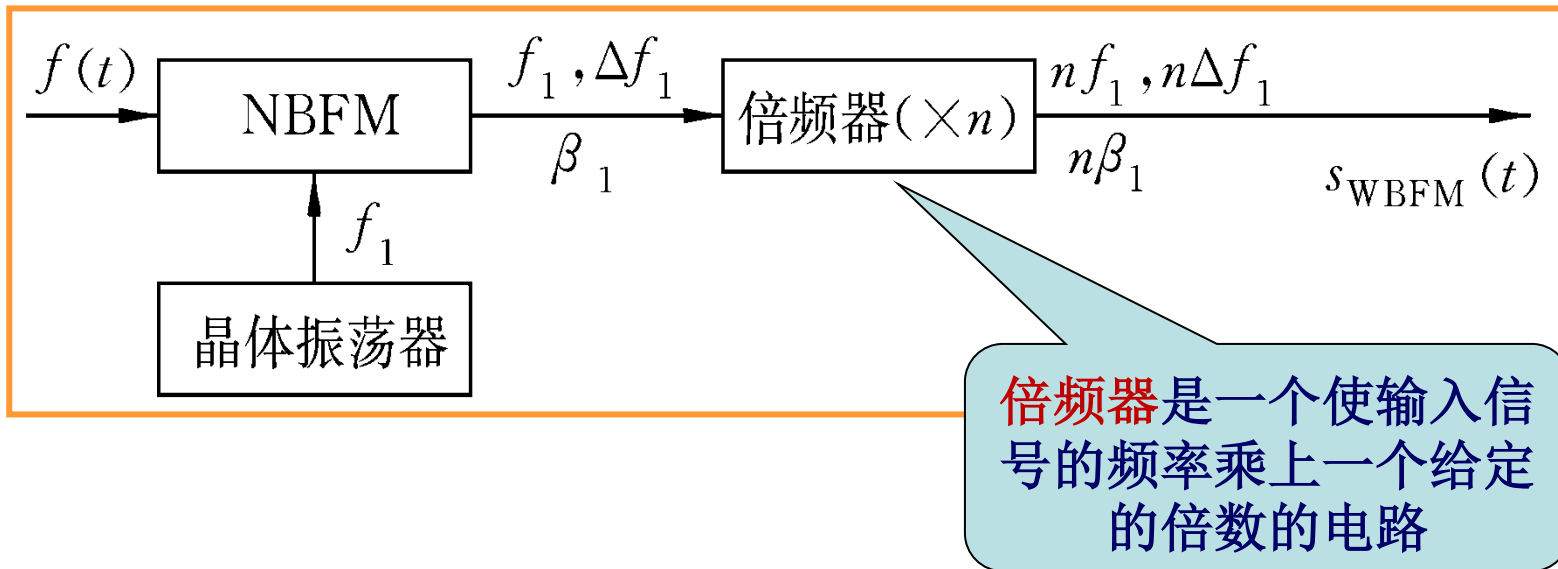
窄带调频信号的产生





1.调频信号的产生

(2) 间接调频法



间接调频框图

经n倍频后可以使调频信号的载频和调频指数增为n倍。





2. 倍频:

❖ **方法:** 倍频器可以用非线性器件实现。

❖ **原理:** 以理想平方律器件为例, 其输出-输入特性为

$$s_o(t) = as_i^2(t)$$

当输入信号为调频信号时, 有

$$s_i(t) = A \cos[\omega_c t + \varphi(t)]$$

$$s_o(t) = as_i^2(t) = aA^2 \cos^2[\omega_c t + \varphi(t)] = \frac{1}{2}aA^2 + \frac{1}{2}aA^2 \cos[2\omega_c t + 2\varphi(t)]$$

分析与推广

• 滤除直流成分后, 可得到一个新的调频信号, 其载频和相位偏移均增为2倍, 由于相位偏移增为2倍, 因而调频指数也必然增为2倍。

• 经 n 次倍频后可以使调频信号的载频和调频指数增为 n 倍。



❖ 典型实例：调频广播发射机

- 载频： $f_1 = 200\text{kHz}$
- 调制信号最高频率 $f_m = 15\text{kHz}$
- 间接法产生的最大频偏 $\Delta f_1 = 25\text{ Hz}$
- 调频广播要求的最终频偏 $\Delta f = 75\text{ kHz}$ ，发射载频在88-108 MHz频段内，所以需要经过

$$n = \Delta f / \Delta f_1 = 75 \times 10^3 / 25 = 3000$$

次的倍频，以满足最终频偏=75kHz的要求。

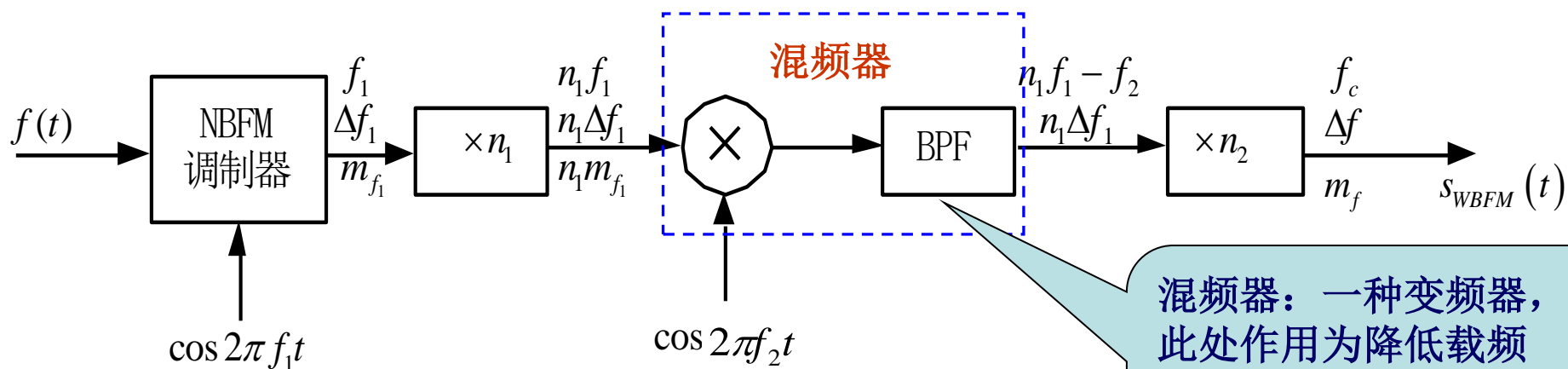
- 倍频器在提高相位偏移的同时，也使载波频率提高了，倍频后新的载波频率(nf_1)高达600MHz，不符合 $f_c = 88\text{--}108\text{MHz}$ 的要求，因此需用混频器进行下变频来解决这个问题。





(3) Armstrong法

将倍频器和混频器（一种变频器）配合使用—**阿姆斯特朗（Armstrong）法**。



输出调频信号载频： $f_c = n_2 (n_1 f_1 - f_2)$

输出调频信号最大频偏： $\Delta f = n_1 n_2 \Delta f_1$

输出调频信号调频指数： $m_f = \frac{\Delta f}{f_m} = \frac{n_1 n_2 \Delta f_1}{f_m} = \frac{n_1 n_2 m_{f_1} f_m}{f_m} = n_1 n_2 m_{f_1}$



【例】在上述宽带调频方案中，设调制信号是 $f_m = 15 \text{ kHz}$ 的单频余弦信号，**NBFM**信号的载频 $f_1 = 200 \text{ kHz}$ ，最大频偏 $\Delta f_1 = 25 \text{ Hz}$ ；混频器参考频率 $f_2 = 10.9 \text{ MHz}$ ，选择倍频次数 $n_1 = 64$ ， $n_2 = 48$ 。

(1) 求**NBFM**信号的调频指数；

(2) 求调频发射信号（即**WBFM**信号）的载频、最大频偏和调频指数。

解：（1）**NBFM**信号的调频指数为

$$m_1 = \frac{\Delta f_1}{f_m} = \frac{25}{15 \times 10^3} = 1.67 \times 10^{-3}$$

（2）调频发射信号的载频为

$$f_c = n_2(n_1 f_1 - f_2) = 48 \times (64 \times 200 \times 10^3 - 10.9 \times 10^6) = 91.2 \text{ MHz}$$





(3) 最大频偏为

$$\Delta f = n_1 n_2 \Delta f_1 = 64 \times 48 \times 25 = 76.8 \text{ kHz}$$

(4) 调频指数为

$$m_f = \frac{\Delta f}{f_m} = \frac{76.8 \times 10^3}{15 \times 10^3} = 5.12$$





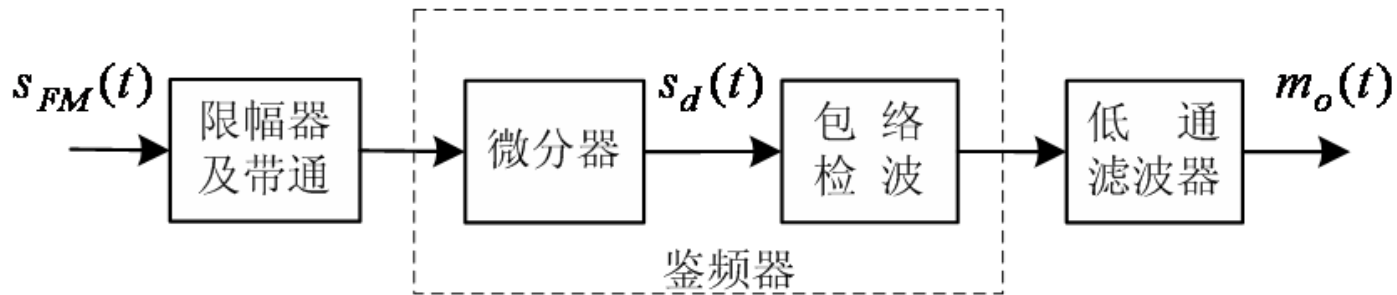
三、（宽带）调频信号的产生和解调

2. 调频信号的解调

(1) 非相干解调（鉴频器解调）

鉴频器：输出信号随输入信号的频率作线性变化。

理想鉴频器可看成是微分器与包络检波器的级联。

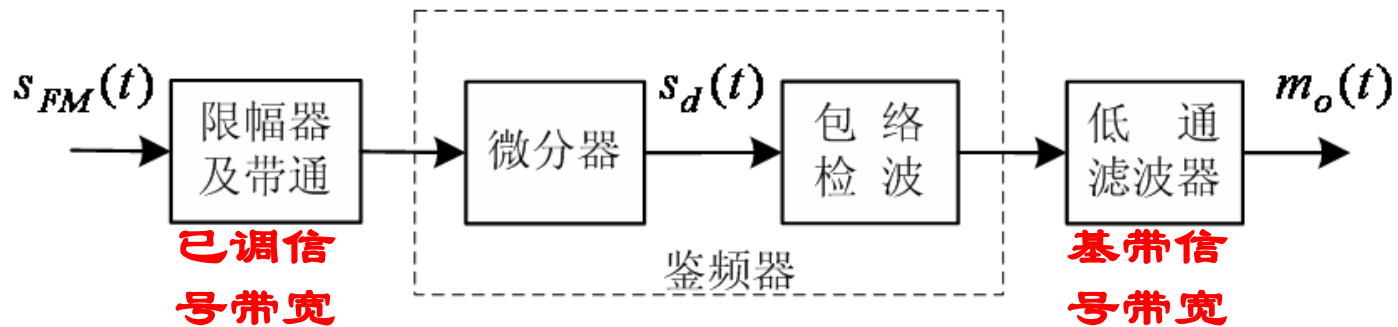




2.调频信号的解调

(1) 非相干解调（鉴频器解调）

$$s_{FM}(t) = A \cos\left(\omega_c t + K_f \int_{-\infty}^t m(\tau) d\tau\right)$$



微分器输出： $s_d(t) = -A[\omega_c + K_f m(t)] \sin[\omega_c t + K_f \int_{-\infty}^t m(\tau) d\tau]$

用包络检波器取出其包络，并滤去直流后输出：

$$m_o(t) = K_d K_f m(t)$$

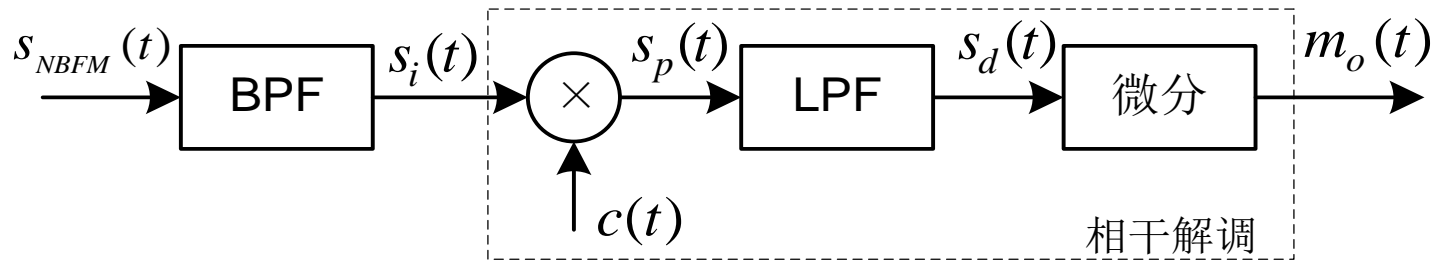
K_d ：鉴频器灵敏度，单位为V/(rad/s)





(2) 相干解调

窄带调频信号可以用相干解调法进行解调。



窄带调频信号： $s_{NB FM}(t) \approx \cos \omega_c t - [K_f \int_{-\infty}^t m(\tau) d\tau] \sin \omega_c t$

相干载波： $c(t) = -\sin \omega_c t$

乘法器输出为： $s_p(t) = -\frac{1}{2} \sin 2\omega_c t + [\frac{1}{2} K_f \int_{-\infty}^t m(\tau) d\tau] (1 - \cos 2\omega_c t)$

经LPF滤除高频分量，得： $s_d(t) = \frac{1}{2} K_f \int_{-\infty}^t m(\tau) d\tau$

再经微分，得输出信号： $m_o(t) = \frac{1}{2} K_f m(t)$

